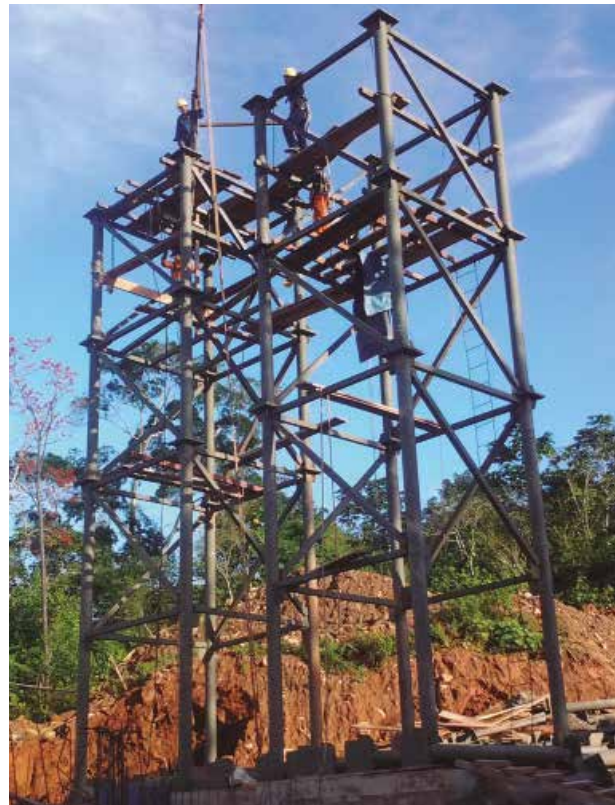
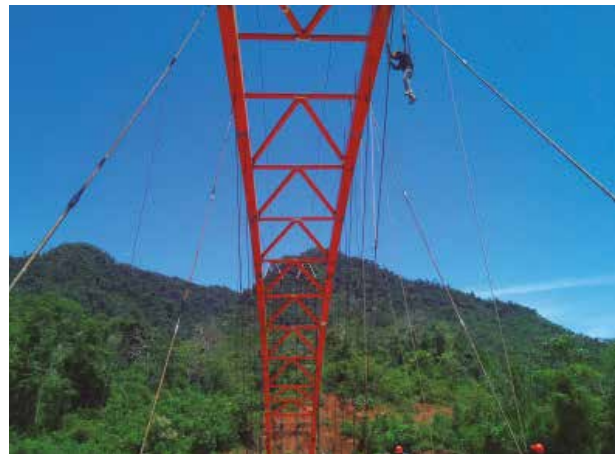




➤ De forma atípica, primero se realizó el arco antes que la losa, para lo cual se erigieron dos torres de montaje con cables de transporte. Primero se ejecutó en la zona donde estaba el relleno y seguidamente en la otra ribera.



➤ Para la construcción de la torre de montaje fue necesario ejecutar primero la cimentación.



➤ El sistema Network le permite al puente tener un pequeño peralte del arco.

- **Diseño de los elementos en general.** Las cargas se mejoran de acuerdo a los factores indicados en las normas de referencia. Los efectos de segundo orden en la fuerza de las péndolas no tienen significado desde el punto de vista del diseño.
- **Diseño del arco y viga de cierre.** Del análisis de pandeo, se ha calculado la longitud efectiva del arco para cada una de las posiciones típicas de la sobrecarga. Con esto, se promedió la resistencia nominal a

compresión y flexión de cada una de las secciones típicas, para cada posición de la carga. En una primera etapa, se calculó la ecuación de interacción considerando solo los momentos que producen deflexión en el plano vertical ( $M_{yy}$ ). Luego se determinó el valor máximo de la ecuación de interacción para cada posición de la carga ("Total", "Izquierda", etc.). El máximo de los factores encontrados

se añadió a los valores críticos de los momentos que producen deflexión lateral. Se ha comprobado que, en todos los casos, la ecuación de interacción es menor o igual que 1.00. Las cargas sísmicas no son críticas en este tipo de arcos, y el análisis de segundo orden no-lineal geométrico indica valores de la ecuación de interacción inferiores a 0.70. La viga de cierre se ha dimensionado como un elemento que confiere